

向列相液晶光学双稳态

林则明 陈书潮 周海光

(厦门大学物理系)

Optical bistability in nematic liquid crystals

Lin Zhemin, Chen Shuchao, Zhou Haiguang

(Physics Department, Xiamen University, Xiamen)

提要: 本文以高斯光束传输矩阵几何光学近似分析法入手, 得到向列相液晶光自聚焦和光双稳性的解析结果。很好地解释了 EBBA 液晶样品的某些实验现象; 并再次证实了双稳性起源于光致重取向效应。

关键词: EBBA, 光学双稳性

我们对液晶材料 EBBA (4-ethoxy-4'-n-butyl-benzy-Lideneaniline) 进行实验测定。在材料的向列相 (nematic) 温度范围 (37~80°C) 观察到自聚焦和反馈型光双稳性现象。利用高斯光束的几何光学传输矩阵分析方法, 给出清晰的理论模型和简明的解析式结果, 可满意地解释某些实验现象。

一、理论分析

利用基横模偏振光束 ($\lambda_r=514.5\text{nm}$) 作输入光, 传播方向为 Z 轴, 入射角 ϕ_0 , 偏振方向在纸面内。液晶 (EBBA) 为沿面取向, 予取向角 \hat{n}_0 方向亦在纸面内 (图1)。因此, 入射光作为异常光出现。由向列相 (nematic) 液晶连续弹性体理论, 在所谓单弹性系数、强锚泊和小重取向角近似下, 场致重取向角可表示为^[1]

$$\theta(r, z) = \frac{(\Delta\epsilon)\sin 2\phi_0}{16\pi K} (d \cdot z - z^2) |E|^2 \quad (1)$$

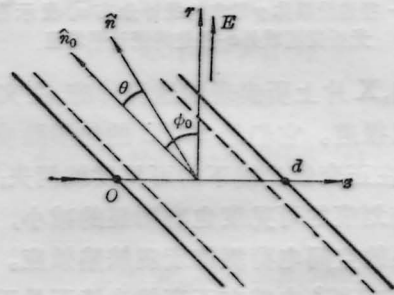


图1 液晶排列与角度关系

式中, $\Delta\epsilon \equiv \epsilon_{//} - \epsilon_{\perp}$ 表示介电率各向异性, K 为弹性模量, $|E|^2$ 与总光强成比例。

入射光为基横模高斯光束。图2表示实

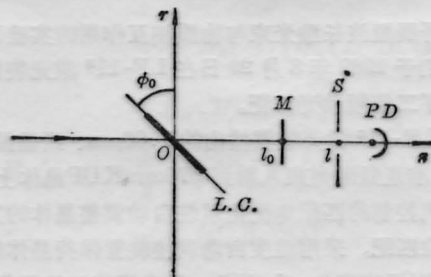


图2 光路图

收稿日期: 1988年1月26日。

验光路。其中 M 为半透镜 (反射率 R 大于 95%)。 S 为小孔光阑。

入射光和反馈光的电场高斯分布分别表示为^[2]

$$\begin{cases} E_f(r, z) = E_{of} \frac{W_{of}}{W_f(z)} \cdot \exp\left[-\frac{r^2}{W_f^2(z)}\right] \\ \quad \times \exp\left\{-i\left[kz + \frac{kr^2}{2R_f(z)}\right]\right\} & (2a) \\ E_b(r, z) = E_{ob} \frac{W_{ob}}{W_b(z)} \cdot \exp\left[-\frac{r^2}{W_b^2(z)}\right] \\ \quad \times \exp\left\{i\left[k(z - l_0) + \frac{kr^2}{2R_b(z)}\right]\right\} & (2b) \end{cases}$$

式中 W_0 为腰斑半径; $W(z)$ 为光斑半径; $R(z)$ 为波前曲率半径; 下标 f, b 表示正向和反向; l_0 为反射镜 M 的坐标。

本文只限于讨论沿轴的积分光强双稳性现象。如果小孔 S 的直径小于高斯光束光斑大小, 但又远大于光波波长, 则小孔的衍射效应并不显著。在这种情况下, 可以采用几何光学的描述方法 (见 [3])。

利用高斯光束的几何光学传输矩阵理论^[2]进行分析。令

$$A \equiv \frac{E_{of} \cdot W_{of}}{W_f(0)}, \quad B \equiv \frac{E_{ob} W_{ob}}{W_b(0)} \quad (3)$$

显然, $|A|^2$ 由液晶层 ($z=0$) 处的前向入射光强 $I_f(0)$ 所决定; 而 B 与反馈光束在液晶层内的反馈强弱有关。不同 B 值对应于通过小孔后的不同积分输出光强 $I_f(l)$ 。实验表明, 加入反射镜 M 后, 出现反馈型光双稳现象, 即对于一定的输入光强 $I_f(0)$, $I_f(l)$ 有两个稳定状态, 分别对应于上升和下降时 $I_f(0)$ 的同一个值。去掉反馈, 光双稳现象消失; $I_f(l)$ 与 $I_f(0)$ 的值一一对应, 但存在着输入与输出光强的非线性关系。

由 (2) 式, 液晶层内的总电场为

$$\begin{aligned} |E|^2 = |E_f + E_b|^2 = & |A|^2 \exp\left[-\frac{2r^2}{W_f^2(0)}\right] \\ & + |B|^2 \exp\left[-\frac{2r^2}{W_b^2(0)}\right] + 2A \\ & \times B^* \exp\left\{-r^2\left[\frac{1}{W_f^2(0)} + \frac{1}{W_b^2(0)}\right]\right\} \end{aligned}$$

$$\begin{aligned} & \times \cos\left[2kz - kl_0 + \frac{kr^2}{2}\right] \\ & \times \left(\frac{1}{R_f(0)} + \frac{1}{R_b(0)}\right) \end{aligned} \quad (4)$$

考虑到 $W(z)$ 及 $R(z)$ 是 z 的慢变函数, 在液晶层范围内 (d 取 $50 \sim 100 \mu\text{m}$ 远小于高斯光束的共焦参量 $\pi W_0^2/\lambda$), 可认为 W 和 R 为与 z 无关。

利用 $r < W$ 的条件, 展开式 (4) 右前二项:

$$\begin{aligned} \exp\left[-\frac{2r^2}{W_f^2(0)}\right] & \simeq 1 - \frac{2r^2}{W_f^2(0)}, \\ \exp\left[-\frac{2r^2}{W_b^2(0)}\right] & \simeq 1 - \frac{2r^2}{W_b^2(0)} \end{aligned}$$

由图 1, 电场 E (略去 E 与 D 方向上的微小区别) 与指向矢 \hat{n} 的夹角为 $(\phi_0 - \theta)$; 则异常光折射率为^[3]

$$n_e(r, z) = \left[\frac{\sin^2(\phi_0 - \theta)}{n_{\perp}^2} + \frac{\cos^2(\phi_0 - \theta)}{n_{\parallel}^2} \right]^{-\frac{1}{2}} \quad (5)$$

在小取向角 θ 下展开上式, 得到:

$$\begin{cases} n_e(r, z) \simeq n_e(\phi_0) + b\theta(r, z) \\ n_e(\phi_0) = \left[\frac{\sin^2\phi_0}{n_{\perp}^2} + \frac{\cos^2\phi_0}{n_{\parallel}^2} \right]^{-\frac{1}{2}} \\ b = \frac{n_{\parallel} n_{\perp} (n_{\parallel}^2 - n_{\perp}^2) \sin 2\phi_0}{2[n_{\parallel}^2 \sin^2\phi_0 + n_{\perp}^2 \cos^2\phi_0]^{3/2}} \end{cases} \quad (6)$$

显然, $n_e(\phi_0)$ 是异常光折射率的线性部分 (大小在 $1 \sim 2$ 之间), 而 b 表示折射率的重取向非线性效应。

同样, 由于液晶层厚度 d 远小于光斑半径 W , 利用平均折射率 $\bar{n} \equiv \frac{1}{d} \int_0^d n(r, z) dz$ 来代替实际的 (二维) 折射率空间分布, 其结果被证明是合理的。

注意到 (4) 式的右边第三项是空间周期函数, 空间周期为 $\Lambda = \pi/k$ (k 为光波波数) 远小于液晶厚度 d , 所以该项对积分平均值 \bar{n} 的贡献趋近于零。显然, 光频电场引致的重取向效应的相移大小由 (4) 式右边头二项所决定。

由 (6)、(1)、(4) 各式可得:

$$\begin{cases} \bar{n}_e(r) = c_1 - c_2 r^2 \\ c_1 = n_e(\phi_0) \\ \quad + \frac{bd^2(\Delta\epsilon)\sin 2\phi_0}{96\pi K} (|A|^2 + |B|^2) \\ c_2 = \frac{bd^2(\Delta\epsilon)\sin 2\phi_0}{48\pi K} \\ \quad \times \left(\frac{|A|^2}{W_f^2(0)} + \frac{|B|^2}{W_b^2(0)} \right) \end{cases} \quad (7)$$

(7)式表示,液晶层等效于具有平方折射率分布的薄透镜。把小孔光阑置于反射镜 M 之后 $z=l$ 处(见图2)。利用高斯光束的光线传输矩阵,决定 l 处的光束参数。由 $[ABCD]$ 定律^[2]

$$q_l = \frac{Aq_0 + B}{Cq_0 + D} \quad (8)$$

式中 q_0 表示液晶层处的输入光束参量。为分析简便,令液晶处于入射光束腰,即有

$$q_0 = iZ_{cf}(0) \equiv i \frac{\pi W_{of}^2}{\lambda} \quad (9)$$

$Z_{cf}(0)$ 表示入射高斯光束的共焦参量, W_{of} 为相应的腰斑半径。液晶层的光线传输矩阵为^[2]

$$\begin{bmatrix} \cos(\sqrt{x}d) & \sqrt{\frac{1}{x}} \sin(\sqrt{x}d) \\ -\sqrt{x} \sin(\sqrt{x}d) & \cos(\sqrt{x}d) \end{bmatrix}; \quad (10)$$

$$x \equiv 2c_2/c_1$$

由液晶输出端到小孔 ($z=l$) 的光线矩阵为

$$\begin{bmatrix} 1 & (l-d) \\ 0 & 1 \end{bmatrix} \approx \begin{bmatrix} 1 & l \\ 0 & 1 \end{bmatrix}$$

从而输入-输出的传输矩阵为

$$\begin{bmatrix} A & B \\ C & D \end{bmatrix} = \begin{bmatrix} 1 & l \\ 0 & 1 \end{bmatrix} \begin{bmatrix} \cos(\sqrt{x}d) & \sqrt{\frac{1}{x}} \sin(\sqrt{x}d) \\ -\sqrt{x} \sin(\sqrt{x}d) & \cos(\sqrt{x}d) \end{bmatrix}$$

$$= \begin{bmatrix} \cos \sqrt{x}d - l \sqrt{x} \sin(\sqrt{x}d) & \sqrt{\frac{1}{x}} \sin(\sqrt{x}d) + l \cos(\sqrt{x}d) \\ -\sqrt{x} \sin(\sqrt{x}d) & \cos(\sqrt{x}d) \end{bmatrix}$$

因为总有 $c_2 < c_1$, $\sqrt{x}d \ll 1$, 所以上式化

简为

$$\begin{bmatrix} A & B \\ C & D \end{bmatrix} \approx \begin{bmatrix} 1-lxd & d+l \\ -xd & 1 \end{bmatrix} \approx \begin{bmatrix} 1-lxd & l \\ -xd & 1 \end{bmatrix} \quad (11)$$

另外

$$\frac{1}{q_l} = \frac{1}{R_l} - \frac{i\lambda}{\pi W_l^2} \quad (12)$$

由(8)、(9)、(11)、(12)式得到

$$R_l = \frac{l^2 + Z_{cf}^2(0) \cdot (1-lxd)^2}{l - Z_{cf}^2(0)xd(1-lxd)} \quad (13)$$

$$W_l^2 = \frac{\lambda}{\pi Z_{cf}(0)} \cdot [l^2 + (1-lxd)^2 Z_{cf}^2(0)] \quad (14)$$

取(13)式分母等于0,得到:

$$l_0 = \frac{xdZ_{cf}^2(0)}{1 + x^2 d^2 Z_{cf}^2(0)} \quad (15)$$

把(15)代入(14),得出:

$$W_0^2 = \frac{\left(\frac{\lambda Z_{cf}(0)}{\pi} \right)}{1 + x^2 d^2 Z_{cf}^2(0)} \quad (16)$$

下面对结果进行讨论。

1. 无反馈时的光(外部)自聚焦

令 $|B|=0$ (无反馈),

$$x = 2c_2/c_1 \approx \frac{bd^2(\Delta\epsilon)\sin 2\phi_0 |A|^2}{24\pi K W_f^2(0) n_e(\phi_0)}$$

式中 $|A|^2 = |E_{of}|^2$ 比例于入射光的中心光强。对 PCB 、 $MBBA$ 或 $EBBA$ 等液晶材料, $(\Delta\epsilon) > 0$, $b > 0$, $x > 0$; 由(15)、(16)式,当 $x=0$ 时 ($|E_{of}|^2=0$ 或 $\phi_0=0$), 腰的位置和大小不变; 反之, 当 x 逐渐加大时, 输出腰斑大小收缩。显然, 它起源于平方折射率分布介质对高斯光束的外自聚焦效应。

2. 有反馈时的光双稳性

展开(14)式,

$$W_l^2 \approx \frac{\lambda}{\pi Z_{cf}(0)} [(l^2 + Z_{cf}^2(0)) - 2ldZ_{cf}^2(0)x] = c_3 - c_4 x \quad (17)$$

式中

$$\begin{cases} c_3 > 0 \\ c_4 > 0 \end{cases} \quad (18)$$

又由(10)、(7)、(3)式得

$$x \equiv \frac{2c_2}{c_1} \cong \frac{bd^2(\Delta\epsilon) \sin 2\phi_0}{24\pi K n_e(\phi_0)} \times \left[\frac{|A|^2}{W_j^2(0)} + \frac{|E_{ob}|^2 \cdot W_0^2}{W_b^4(0)} \right] \quad (19)$$

式中, $|A|^2 = |E_{of}|^2$ 由入射光功率决定。同样, $|E_{ob}|^2 \cdot W_0^2$ 为入射光功率的单值函数。容易证明,

$$\begin{cases} |A|^2 \cdot W_{of}^2 = 16 P_i / (1 - e^{-2}) \cdot cn \\ |E_{ob}|^2 \cdot W_0^2 = 16 P_i \cdot R / (1 - e^{-2}) cn \end{cases} \quad (20)$$

式中, P_i 为入射光功率; W_{of} 、 W_0 分别为入射和输出腰斑; R 为反射镜反射率。因此, 反射光斑大小 $W_b(0)$ 的变化决定光双稳效应。为分析简单起见, 假定固定反射镜位置于束腰 l_0 处(在实验中, 把 M 置于一会聚透镜前焦点附近)。由反向传输矩阵 $\begin{bmatrix} 1 & l_0 \\ 0 & 1 \end{bmatrix}$ 及 $[ABCD]$ 定律, $q_b(0) = q_b(l_0) + l_0$, $q_b(l_0) = i\pi W_0^2 / \lambda$, $\frac{1}{q_b(0)} = \frac{1}{R_b(0)} - \frac{i\lambda}{\pi W_b^2(0)}$; 利用(16)式求得

$$\frac{1}{W_b^4(0)} \cong \left[\frac{\pi Z_{of}(0)}{\lambda} \right]^2 \frac{1}{[l_0^2 + Z_{of}^2(0)]^2} \times \left[1 + \frac{2d^2 Z_{of}^2(0)(Z_{of}^2(0) - l_0^2)}{(Z_{of}^2(0) + l_0^2)} x^2 \right] \quad (21)$$

把(19)~(21)式代入(17)式, 则有

$$W_i^2 = c' - c'' x^2 \quad (22)$$

式中

$$\begin{aligned} c' &= c_3 - \frac{c_4 b d^2 (\Delta\epsilon) \sin 2\phi_0}{24\pi K n_e(\phi_0)} \\ &\times \left[\frac{16 P_i}{(1 - e^{-2}) cn W_j^4(0)} + \frac{16 P_i R}{(1 - e^{-2}) cn} \right. \\ &\times \left. \left(\frac{\pi}{\lambda} \right)^2 \left(\frac{Z_{of}(0)}{l_0^2 + Z_{of}^2(0)} \right)^2 \right] \\ c'' &= \frac{c_4 b d^2 (\Delta\epsilon) \sin 2\phi_0}{24\pi K n_e(\phi_0)} \cdot \frac{16 P_i R}{(1 - e^{-2}) cn} \\ &\times \left(\frac{\pi}{\lambda} \right)^2 \left(\frac{Z_{of}(0)}{l_0^2 + Z_{of}^2(0)} \right)^2 \\ &\times \frac{2d^2(Z_{of}^2(0) - l_0^2)}{(Z_{of}^2(0) + l_0^2)} \end{aligned}$$

(17)和(22)式是决定光双稳态的条件。令

$$c_3 - c_4 x = c' - c'' x^2,$$

当 $c'' = 0$ 时(无光反馈), 由于 $c_3 > c'$, $c_4 > 0$, 所以 x 有一个稳定解, 属于光自聚焦的情形; 如果反馈存在, 但输入光能 P_i 较小, 即 $c'' \sim 0$, 第二个解相当于 $W_i^2 < 0$ 不可能存在, 所以此时不存在双稳现象, 如图 3(a) 所示。反之, 当输入光强足够强, 使得 c'' 很大而 c' 很小时, 可能有判别式 $\Delta = c_1^2 - 4c''(c_3 - c') < 0$, 此时无稳定解, 出现输出光振荡, 它相当于强的正反馈, 如图 3(c) 所示。出现光双稳的条件为 $\Delta > 0$ 而且 $\sqrt{c'/c''} < c_3/c_4$, 即 $\frac{c_1^2}{4(c_3 - c')} > c'' > c' \left(\frac{c_4}{c_3} \right)^2$, 由上式决定产生光双稳态的输入光范围, 如图 3(b) 所示。

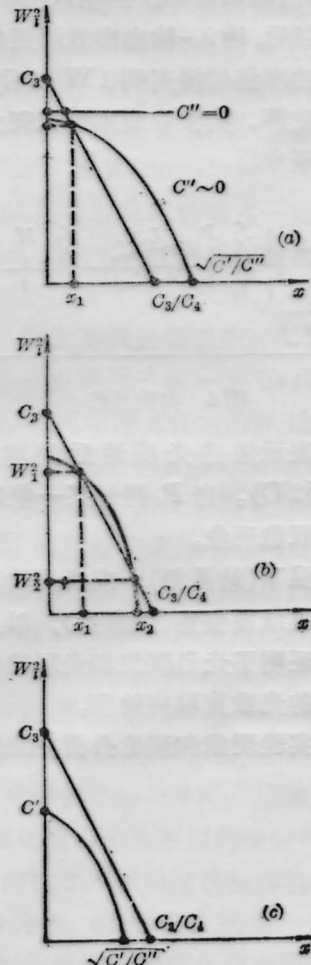


图 3

(a) 单稳; (b) 双稳; (c) 无稳

二、实验观察

实验装置如图4所示。样品为EBBA。光源采用连续 Ar^+ 激光，波长 514.5nm ，单模输出，功率 5W 以上连续可调。透镜 f_1 使输入束腰落在样品附近；反馈平面半透镜 ($R\sim 95\%$) M 置于第二透镜 f_2 的前焦点附近。输出光束1和参考光束2(来自 Ar^+ 激光器)同时进入 $x-y$ 记录仪。实验中， P_i 的变化较缓慢。对不同的温度进行测量，恒温控制为 $\pm 0.5^\circ\text{C}$ 。受恒温炉限制， ϕ_0 角取 8° 。

当去掉 f_2 和 M 时，输入-输出曲线如图5所示，不出现双稳态。当输入功率 P_i 超过 200mW 以后，输入-输出出现明显的非线性关系。当功率继续提高到 1W 以后，出现光强的输出张落。实验中观察到光斑大小的收缩和膨胀现象。

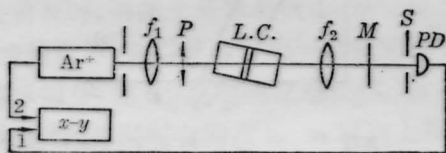


图4 实验系统

图6表示加进光反馈后的输入-输出曲线 ($t=52^\circ\text{C}$)。当 P_i 超过某一值时，出现明显的光双稳现象。

在室温下(结晶相)，或者当转动样品使偏振取垂直纸面位置(正常光)，以上实验现象消失。证明了光自聚焦和光双稳性的起源是向列相的光致重取向效应。

以上实验现象和理论分析在定性上符合很好。

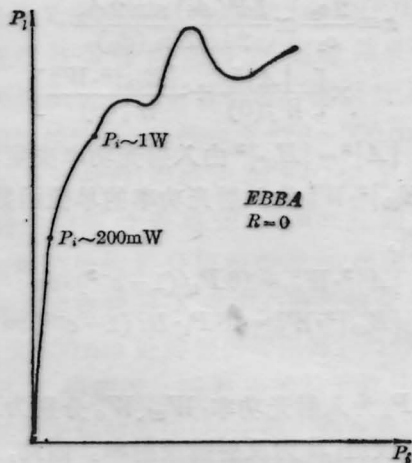


图5

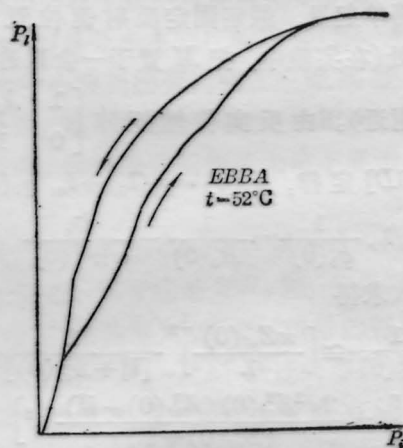


图6

本研究课题得到福建省科学基金资助。作者还感谢厦大抗癌中心为之提供实验设备，李英玲同志封装实验样品。

参 考 文 献

- 1 I. C. Khoo, *Phys. Rev. A.*, **25**, 1636 (1982)
- 2 A. Yariv, *Quantum Electronics*, 1975, 112, 113
- 3 M. Born, E. Wolf, *Principles of Optics*, 1975, 680